

بررسی ارتباط پلی مورفیسم G/C-765-ژن سیکلوakkسیژنائز ۲ با سرطان ریه در جمعیت اصفهان

دکتر مجید متولی‌باشی^{*}، دکتر زهره حجتی، مسعود عسگری

بخش ژنتیک، گروه زیست شناسی، دانشکده علوم، دانشگاه اصفهان

چکیده

سابقه و هدف: دو نوع آنزیم سیکلوakkسیژنائز ۱ و ۲ در انسان وجود دارد که فعالیت آنها باعث تولید پروستاگلندین‌ها می‌گردد. پروستاگلندین‌ها در فعالیت‌های متعدد از جمله سیستم ایمنی، تنظیم قطر رگ‌ها، تقسیم سلولی و رگ‌زایی ایفای نقش می‌کنند. گزارشاتی مبنی بر افزایش بیان آنزیم در مراحل شروع، گسترش و فعالیت متاستازی سرطان‌هایی همچون حنجره، معده و روده بزرگ ارائه شده است. هدف از مطالعه حاضر نقش پلی مورفیسم G/C-765G-در پرموتر ژن سیکلوakkسیژنائز ۲ با سرطان ریه و گروه شاهد آن‌ها در جمعیت اصفهان بود.

روش بررسی: تحقیق با روش مورد-شاهدی انجام گرفت. تعیین ژنتیپ سیکلوakkسیژنائز ۲ در ۱۲۰ بیمار سرطان ریه و ۱۱۰ کنترل با استفاده از تکنیک چند شکلی طولی قطعات DNA با استفاده از آنزیم‌های محدود الاثر-واکنش زنجیره‌ای پلی‌مراز (RFLP-PCR) بر روی DNA ژنومیک استخراج شده از نمونه تام خون انجام شد. شمار ژنتیپ‌های مشاهده شده با شمار مورد انتظار برای جمعیت در تعادل هارדי واینبرگ با استفاده از آزمون کایدو مقایسه شد. اختلافات ژنتیپ‌ها و آل‌ها بین گروه‌ها با استفاده از آنالیز نسبت شانس (OR) آزموده شد. یافته‌ها: ژنتیپ GG پلی مورفیسم G/C-765G-در بیماران (۵/۶۲٪) نسبت به گروه کنترل (۴۵/۵۵٪) افزایش معنی‌دار آماری از خود نشان نداد ($P > 0.05$). اما وقتی که بیماران به دو گروه متاستازی و غیر متاستازی تقسیم شدند، ارتباط ضعیفی بین ژنتیپ GG پلی مورفیسم G/C با متاستاز مشاهده شد ($P < 0.04$).

نتیجه‌گیری: به نظر می‌رسد که پلی مورفیسم G/C-765G-ژن سیکلوakkسیژنائز ۲ با شروع سرطان ریه ارتباطی ندارد، ولی ارتباط آماری ضعیفی بین پلی مورفیسم با فعالیت متاستازی مشاهده می‌گردد.

واژگان کلیدی: سیکلوakkسیژنائز ۲، RFLP - PCR، تعیین ژنتیپ، سرطان ریه.

اگزون و به طول حدود ۲۲ کیلو جفت باز در ناحیه q33.3-q32.3 کروموزوم ۹ و ژن سیکلوakkسیژنائز ۲ با ۱۰ اگزون و به طول حدود ۸/۳ کیلو جفت باز بر روی کروموزوم ۱ در ناحیه q25.3-q25.2 قرار گرفته اند (۳-۶). مطالعات گویای تفاوت در نواحی تنظیمی این دو ژن است، به طوری که ژن سیکلوakkسیژنائز ۱ در سلول‌ها همیشه بیان شده اما ژن سیکلوakkسیژنائز ۲ القاء پذیر بوده و بسته به شرایط فیزیولوژیک بدن بیان آن متغیر می‌باشد. در منطقه پرموتوری ژن سیکلوakkسیژنائز ۲ توالی‌های محافظت شده‌ای وجود داشته که محل اتصال فاکتورهای رونویسی می‌باشند. این

مقدمه

سیکلوakkسیژنائزها (COX) از خانواده اکسیژنائزها بوده، دارای فعالیت سیکلوakkسیژنائزی و پراکسیدازی هستند که در دو جایگاه متفاوت انجام می‌گیرد (۱، ۲). در انسان دو نوع آنزیم به نام سیکلوakkسیژنائز ۱ و ۲ وجود دارد، که ژن سیکلوakkسیژنائز ۱ با ۱۱

نهوپلازی و سرطان درگیری مشهودی داشته و به نظر می‌رسد که تأثیر خود را بیشتر از طریق مکانیسم التهاب و رگزایی انجام می‌دهد. سیکلو اکسیژنازها از آنزیم‌های اصلی فرایند التهاب می‌باشند و نقش خود را در شکل گیری، توسعه و فعالیت متاستازی سرطان بیشتر از طریق دو فرایند التهاب و رگزایی انجام می‌دهند (۱۹، ۲۰، ۲۳-۲۶).

سرطان ریه یکی از شایع‌ترین سرطان‌ها در سراسر جهان به شمار می‌رود و بیش از ۸۰ درصد مبتلایان به این بیماری در فاصله پنج سال از تشخیص بیماری حان خود را از دست می‌دهند. بر اساس تقسیم‌بندی انجمن سرطان آمریکا (American Cancer Society)، دو نوع اصلی سرطان ریه عبارتند از: ۱- سرطان ریه با یاخته‌های کوچک (Small cell lung cancer; SCLC)، روند رشد و تکثیر این نوع سرطان سریع بوده و در مدت زمان کوتاهی در اندام‌های دیگر پراکنده می‌شود. حدود ۲۰٪ سرطان‌های ریه از این نوع بوده و شایع‌ترین نوع سرطان ریه می‌باشد. ۲- سرطان ریه Non-Small cell lung cancer؛ (NSCLC)؛ این نوع سرطان ریه با توجه به نوع سلول موجود در بافت ریه که دچار تاریختی و سرتانی شده است تعریف می‌شود. بنابراین اشکال مختلفی از این نوع سرطان وجود دارد (۲۷). عالیم هشدار دهنده سرطان ریه شامل افزایش یا شدت سرفه در افراد سیگاری، سرفه همراه با خلط خونی، تنگی نفس در اثر فعالیت، خس خس حاد سینه، درد میهم یا مشخص در قفسه سینه، خشن شدن صدا، کاهش وزن، بی اشتہایی، تورم در ناحیه گردن و صورت، ضعف و خستگی مفرط است. این سرطان در مراحل ابتدایی هیچ نشانه‌ای ندارد و بیماران اغلب زمانی به پژشک مراجعه می‌کنند که بیماری در مراحل پیشرفته قرار دارد و همین امر باعث افزایش آمار مرگ و میر در میان مبتلایان سرطان شده است (۲۸). از هنگام شروع تا مراحل پیشرفته سرطان ریه ویژگی‌های متفاوتی مثل اندازه تومور، ضخامت تومور، محل تومور، تغییر بافتی و وضعیت متاستازی در آن دیده می‌شود و بر این اساس به مراحل I، II، III و IV تقسیم می‌گردد. عموماً بیماران در زمانی که سرطان گسترش پیدا نموده و در حالت متاستازی قرار گرفته است، یعنی مرحله III و یا IV به پژشک مراجعه می‌کنند (۲۹).

هدف از مطالعه نمونه- شاهد و بازگشت به گذشته حاضر، ارزیابی اثر پلی مورفیسم C-765G در پروموتور ژن سیکلواکسیژناز ۲ بر گسترش و متاستاز سرطان ریه در جمعیت اصفهان در سال- های ۱۳۸۷-۸۹ بود.

توالی‌ها شامل ناحیه ۱/۶۹ کیلوبازی از محل شروع رونویسی و ۰/۸ کیلو بازی از اولین اینترون دارای جعبه TATA متعارف و انواع توالی فاکتورهای رونویسی مثل جعبه NF-IL6, CARG, PEA-1, GAT-1, cAMP Response Element, sp1 و NF-KB می‌باشند (۷-۱۰). این توالی‌ها در روند تکاملی به شدت محافظت شده‌اند و تغییر نوکلئوتیدی در توالی‌های آنها باعث حذف جایگاه اتصال فاکتورها و در بعضی مواقع منجر به ایجاد جایگاه اتصال برای فاکتورهای رونویسی جدید نموده که از لحاظ فعال کنندگی با مهارکنندگی واحد عملکرد متفاوت می‌باشند. پلی‌مورفیسم‌های شناخته شده در این نواحی با بیماری‌هایی مثل سرطان، آزادایمرو و التهاب‌های معده‌ای و روده‌ای ارتباط نشان داده‌اند (۱۱-۱۴).

حدود ۱۲۴ پلی‌مورفیسم در درون ژن سیکلواکسیژناز ۲ (COX ۲) شناسایی شده که در نواحی مختلف آن پراکنده شده است. بعضی از آنها در درون اینترون‌ها رخداده و بنابراین عملکرد ناشناخته‌ای دارند، اما پلی‌مورفیسم‌های مهم در نواحی اگزونی و تنظیمی آن وجود دارد که با تغییراتی مثل حذف جایگاه اتصال فعال کننده‌ها، ایجاد جعبه‌های تنظیمی جهت اتصال فاکتورهای رونویسی، ایجاد و حذف توالی‌های محافظت کننده و تغییر در کدون اسید آمینه در بیان و پایداری mRNA و پروتئین تأثیر می‌گذارند (۱۵، ۲). پلی‌مورفیسم C-765G با تغییر نوکلئوتید G به C در توالی CCCGCC که ۷۶۳ جفت باز بالا دست محل آغاز رونویسی بوده و محل اتصال فاکتور رونویسی SP1 بوده، باعث کاهش رونویسی تا حد ۳۷٪ می‌شود. در حضور نوکلئوتید G فاکتور رونویسی به توالی متصل و باعث افزایش رونویسی از ژن SP1 می‌شود، اما موقعی که نوکلئوتید C در توالی وارد شود SP1 نمی‌تواند به توالی متصل شود و بنابراین رونویسی از ژن کمتر صورت می‌گیرد (۱۳، ۱۶-۱۸). در مطالعات انجام گرفته، این پلی‌مورفیسم ارتباط‌های معنی‌داری با بیماری‌های مختلف مثل سرطان، آزادایمرو، بیماری‌های سیستم ایمنی و بیماری‌های قلبی-عروقی مشاهده شده است (۱۹-۲۲). آنزیم سیکلواکسیژناز ۲ به خاطر تولید مواد مهمن مثل پروستاگلین H نقش‌های گوناگونی در بدن از قبیل مکانیسم التهاب، رگزایی، باروری در فرد ماده، درد، تب، مهارسیستم ایمنی، عملکردی‌ای مثل انقباض ماهیچه‌های صاف لوله گوارش، گشاد کردن رگ‌های دیواره تولید کننده موکوس معدی و آزاد سازی موکوس معدی در لوله گوارش، مهار انقباض رگ‌ها، گشاد کردن رگ‌های کلیوی و در نتیجه افزایش جریان خون در آنها، تنگ شدن مسیر های هوایی ششها و افزایش قطر سیاهرگ‌های ششی دارند (۱، ۸). علاوه بر این تحقیقات گستره نشان داده که این آنزیم در بیماری‌های

مواد و روشها

مطالعه حاضر بین سال‌های ۱۳۸۹ تا ۱۳۸۷ در دانشگاه اصفهان، با طراحی مورد-شاهدی انجام گرفت. تعداد ۱۲۰ نمونه خون از بیماران مبتلا به سرطان ریه مورد تأثید متخصص پاتولوژیست از مرکز آموزشی-پژوهشی و درمانی سل و بیمارهای ریوی بیمارستان امید اصفهان و ۱۱۰ نمونه خون مربوط به افراد سالم و منطبق با شرایط سن، جنس، استعمال دخانیات، روابط فامیلی در ازدواج، سابقه فامیلی از نظر سرطان با گروه بیماران از بانک خون تهیه گردید. مطالعه بر روی بیمارانی صورت گرفت که مبتلا به سرطان ریه از نوع سلول‌های غیرکوچک بوده و در وضعیت متاستازی قرار داشتند (اصولاً بیماران سرطان ریه به دلیل متاستاز مورد تشخیص و شناسایی قرار می‌گیرند). نمونه گیری افراد پس از کسب اجازه و اطلاع‌رسانی در حین تکمیل نمودن پرسشنامه در راستای یکسان سازی معیارهای مطالعه انجام پذیرفت. در مورد وضعیت سیگاری بودن اطلاعات کاملی در رابطه با استعمال سیگار در گذشته و حال، تعداد سیگارهای استعمال شده در روز و مدت زمان مصرف آن از افراد اخذ گردید و شاخص مصرف سیگار (S.I) برای تعریف افراد سیگاری، مصرف پنج سیگار در روز و به مدت زمان حداقل دو سال تعریف شد (۳۱، ۳۰). نمونه‌های جمع آوری شده به داخل لوله‌های ونجکت حاوی ده درصد EDTA ریخته شدند. پس از مخلوط نمودن، در دمای ۴-۲۰ درجه سانتیگراد جهت مطالعات کوتاه مدت و دمای ۴-۲۰ درجه سانتیگراد برای بررسی‌های طولانی مدت نگهداری گردید. استخراج DNA ژنومی با استفاده از تکنیک نمکی (Salting out) مطابق روش Miller (۳۲) با کمی تغییرات جهت افزایش کارایی و سرعت انجام گرفت. کیفیت و کمیت استخراج DNA ژنومی با استفاده از دستگاه اسپکتروفوتومتر و ژل آگاروز الکتروفورز ۰/۷ درصد مورد سنجش قرار گرفت. نمونه‌هایی که نسبت OD260/OD280 آنها بین ۱/۸-۲ بود، جهت بررسی و مطالعه انتخاب شدند. غلظت DNA ژنومی استخراج شده بین $175\text{--}200\text{ }\mu\text{g}/\text{ml}$ محاسبه شد. طراحی پرایمرهای با توجه به موقعیت پلی مورفیسم 765G/C-در ناحیه پروموتوری ژن سیکلواکسیژنаз European Promoter با استفاده از سایت‌های NCBI، ۲ Ensembl و SGD Databas (EPD)، از نظر آماری معنی‌دار شرکت یاساطب سفارش داده شد (جدول ۱).

جدول ۱- توالی پرایمرهای رفت و برگشت با توجه به ویژگی آنها			
اختصاصات	طول درصد GC	توالی پرایمر	طول درصد GC
پرایمر	۴۴	-GTCCATCAGAACGGCAGGAACTTTA- 5'3'	۲۵
رفت			
پرایمر	۴۸	-TGTCTGGTCGTACGTCTTAGAGG- 5'3'	۲۵
برگشت			

محصول مورد انتظار PCR پرایمرهای بر روی DNA ژنومی قطعه‌ای به طول ۴۰۶ جفت باز می‌باشد. آنزیم *Aci* I در ناحیه پلی مورفیسم G/C برای آلل G واحد محل شناسایی C و برش می‌باشد، ولی قادر به شناسایی و برش آلل C نمی‌باشد. تکثیر منطقه ژنی مورد نظر واحد پلی مورفیسم با استفاده از تکنیک PCR با ترکیبات DNA ۱۵۰ ng، ۲۰۰ μM ۲/۵mM PCR10X، ۲/۵mM Taq، ۲۰۰ nM dNTP، ۰/۳M پلیمراز و ۰/۳M dH2O تا رسیدن به ۲۵ μl در شرایط دمایی: دناتوراسیون اولیه ۳ دقیقه در ۹۴ درجه سانتیگراد سپس ۳۰ سیکل: ۳۰ ثانیه دناتوراسیون در ۹۴ درجه سانتیگراد، ۴۵ ثانیه هیبریداسیون در ۵۸ درجه سانتیگراد، ۴۵ ثانیه تکثیر در ۷۲ درجه سانتیگراد و در انتهای ۱۲ دقیقه تکثیر نهایی در ۷۲ درجه سانتیگراد انجام شد. در نهایت محصولات PCR توسط الکتروفورز ژل آگارز ۱٪ مورد بررسی قرار گرفت. هضم آنزیمی با استفاده از ۲/۵M واحد آنزیم *Aci* I با نقصان ۱M باfer آنزیم و انکوباسیون در ۳۷ درجه به مدت ۱۶ ساعت انجام گرفت. محصولات حاصل از هضم آنزیمی توسط الکتروفورز ژل آگارز ۱٪ تفکیک و مورد بررسی قرار گرفتند.

با استفاده از ژنوتیپ‌های به دست آمده از RFLP فراوانی آللی G و C در ناحیه پروموتوری گروه‌های مورد مطالعه محاسبه گردید. در مرحله بعدی، اختلاف در توزیع ژنوتیپ سیکلواکسیژنаз ۲ در گروه‌های مورد مطالعه با استفاده Statistical ارزآزمون کایدو توسط نرم افزار SPSS (Processor for Social Science) ویرایش ۱۲ مورد بررسی قرار گرفت. نسبت شانس (OR) با فاصله اطمینان ۹۵٪ به عنوان شاخص ارتباط پلی مورفیسم ژنوتیپ GG در ناحیه پروموتوری با خطر سرطان ریه و متاستاز در گروه‌های مورد مطالعه محاسبه گردید. در تمامی محاسبات سطح احتمال $P < 0.05$ ، از نظر آماری معنی‌دار فرض شد.

یافته‌ها

کنترل ۴۸ سال با محدوده سنی ۶۲-۲۵ سال و افراد بیمار ۵۷ سال با محدوده سنی ۲۵-۷۶ سال بود. همان طور که در جدول ۲ مشاهده می‌گردد اختلاف میانگین سنی افراد کنترل و بیمار از لحاظ آماری معنی دار نبود ($P=0.92$). مقایسه افراد سیگاری و غیر سیگاری در گروه‌های کنترل و بیمار از لحاظ آماری معنی دار بود، به طوری که دخانیات خطر ابتلا به آماری را حدود دو برابر افزایش می‌داد ($P=0.001$). تفکیک گروه‌ها به زنان و مردان، ارتباط فاکتور سیگار را در افزایش خطر ابتلا به سرطان در گروه مردان نشان داد ($OR = 3/28, P = 0.001$)، ولی فاکتور سیگار در زنان ارتباطی با بیماری را نشان نداد ($P=0.21$ ، جدول ۲).

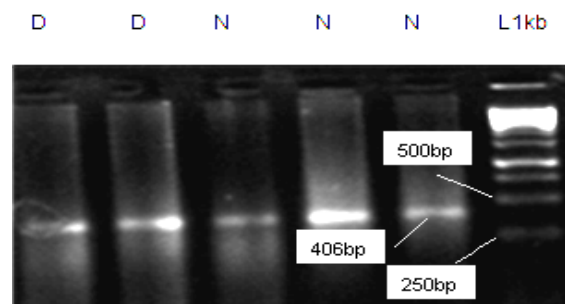
جدول ۲- توزیع افراد مورد بررسی بر حسب ابتلا به سرطان ریه و به تفکیک خصوصیات

		کنترل	بیمار	نسبت شانس	p-value
	جنس				.۹۶۳
	مرد	۶۸(۵۶/۲)	۶۲(۵۶/۴)*		
	زن	۵۲(۴۳/۸)	۴۸(۴۳/۶)		
	سن				.۹۲
	میانگین سنی	۵۷	۴۸		
	محدوده سنی	۲۵-۷۶	۲۵-۶۲		
	صرف سیگار				.۰۰۱
	سیگاری	۳۳(۴۱/۲۵)	۲۱(۱۹/۰۹)		
	غیر سیگاری	۴۷(۵۹/۷۵)	۸۹(۸۰/۹۱)		
	صرف سیگار در مردان				.۰۰۱
	مرد سیگاری	۲۵(۵۵/۵۶)	۱۵(۲۴/۱۹)		
	مرد غیر سیگاری	۲۰(۵۴/۴۴)	۴۷(۷۵/۸۱)		
	صرف سیگار در زنان				.۲۱
	زن سیگاری	۸(۲۲/۸۶)	۶(۱۲/۵)		
	زن غیر سیگاری	۲۷(۷۷/۱۴)	۴۲(۸۷/۵)		

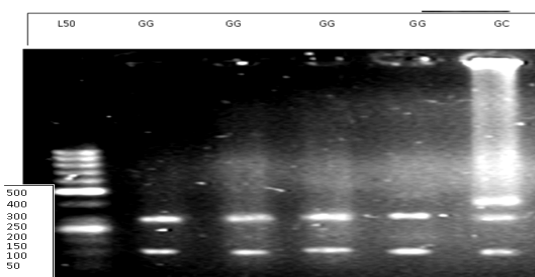
* تعداد (درصد)

پایی مورفیسم G/C ژن COX-2 در گروه‌های کنترل و بیمار مورد مطالعه قرار گرفت و فراوانی آلل‌های G به ترتیب در افراد کنترل ۴۵٪ و ۵۵٪ و در افراد بیمار ۶۲/۵٪ و ۳۷/۵٪

نتایج استخراج DNA ژنومی بیماران و کنترل بر روی ژل آگارز مطابق یکدیگر و مورد انتظار بود. ناحیه پایی مورفیسم توسط پرایمرهای طراحی شده و تکنیک PCR مورد تکثیر قرار گرفت و سپس جهت آنالیز نتایج، محصولات حاصل از PCR توسط الکتروفورز روی ژل آگارز ۱٪ از یکدیگر تفکیک شدند (شکل ۱). کلیه نمونه‌ها توسط هضم آنزیمی و تکنیک RFLP-PCR تعیین ژنتیپ شدند (شکل ۲). اطلاعات مربوط به جنس، سن و فاکتور سیگار گروه‌های کنترل و بیمار جمع آوری شد (جدول ۲).



شکل ۱- ژل آگارز الکتروفورز قطعات DNA های تکثیر شده از ناحیه پروموتوری ژن سیکلواکسیژناز ۲. N : محصول PCR از نمونه ژنومیک افراد سالم D : محصول PCR از نمونه ژنومیک افراد بیمار L : مارکر ۱ کیلو جفت بازی. الکتروفورز با بافر TBE روی ژل ۱ درصد با ولتاژ ۵۵ به مدت ۷۰ دقیقه انجام گرفت.



شکل ۲- ژل آگاروز الکتروفورز محصولات PCR ناحیه پرموتوری ژن سیکلواکسیژناز ۲. هضم آنزیمی AcI I بر روی قطعات ۴۰۶ جفت بازی محصولات PCR. فرد واحد ژنتیپ GC حاوی سه باند در نواحی حدود ۴۰۶، ۲۹۸ و ۱۰۸ جفت بازی و فرد با ژنتیپ GG واحد دو باند در نواحی ۱۰۸ و ۲۹۸ جفت بازی می باشند (الکتروفورز بر روی ژل با ۱٪ آگارز و ولتاژ ۸۰ به مدت ۲ ساعت انجام گرفت).

در افراد کنترل، ۳۷٪ مرد و ۴۳٪ زن و در افراد بیمار، ۵۶٪ مرد و ۴۳٪ زن بودند. میانگین سنی افراد

بیماری مرتبط نمی‌باشد ($P=0.13$). علاوه بر این در توزیع ژنوتیپی پلی مورفیسم نیز اختلاف قابل توجهی مشاهده نشد ($P=0.1$). مطابق با نتیجه مطالعه حاضر در سال ۲۰۰۴ دانیل و کامپا در بررسی پلی مورفیسم فوق با سرطان ریه ارتباطی مشاهده نکردند (۳۸). اما بعد کورنلیا و همکارانش گزارش نمودند که ژنوتیپ هموژیگوت CC در میان افرادی که داروهای ضد التهابی مصرف نمی‌کنند، باعث کاهش خطر سرطان به طور خیلی جزئی شده است ($OR=0.26$) (۳۹). همچنین آنها گزارش کردند که استفاده از آسپرین فقط خطر بیماری را در ژنوتیپ‌های GG کاهش می‌دهد. این داده پیشنهاد می‌کند که در بیمارانی که دارو استفاده نمی‌کنند ژنوتیپ CC یک فاکتور کاهنده خطر بوده، ولی در آنها یکی که ژنوتیپ GG دارند داروهای مهار کننده باعث کاهش خطر می‌شود (۳۹). از طرفی همکاری پلی مورفیسم با عوامل جنس، سن و سیگار در ایجاد سرطان ریه مورد بررسی قرار گرفت، ولی از لحاظ آماری ارتباطی بین آنها دیده نشد. اما ارتباط سیگار با بیماری از لحاظ آماری بدون در نظر گرفتن پلی مورفیسم معنی دار بود و خطر بیش از دو برابری ایجاد می‌نمود ($P = 0.001$, $OR = 2.68$). عامل خطر سیگار در مردان بسیار بالا و به میزان ۳/۲۸ بود، ولی در زنان از لحاظ آماری ارتباطی مشاهده نشد. مطالعات نشان داده که تنباکو از اصول بنیادین ابتلاء سرطان ریه بوده و در حقیقت حدود ۸۰ تا ۹۰ درصد کل بیماری‌های ریوی به دلیل مصرف تنباکو بروز می‌کنند (۴۰). از طرفی تأثیر سیگار در ایجاد یا توسعه سرطان ریه به نسبت سایر سرطان‌ها بیشتر می‌باشد (۴۱). بررسی‌ها نشان داده که مرگ و میر ناشی از سرطان ریه به دلیل افزایش تعداد افراد سیگاری به میزان قابل توجهی در جمعیت مردان نسبت به جمعیت زنان بیشتر می‌باشد، به عبارتی خطر سیگار جهت شکل گیری سرطان ریه در مردان بیشتر از زنان می‌باشد. مردهایی که در طول روز یک پاکت سیگار می‌کشند، ۲۲ مرتبه بیشتر از افراد غیرسیگاری در معرض ابتلاء به این سرطان قراردارند. در حالی که زنانی که همین مقدار سیگار مصرف می‌کنند، خطر ابتلاء را ۱۲ مرتبه افزایش می‌دهند (۴۲، ۴۳). مطالعات ما در ارتباط با سیگار بدون در نظر گرفتن نقش پلی مورفیسم مطابق نتایج سایرین بود. عدم ارتباط سیگار با سرطان ریه در جمعیت زنان به دلیل پایین بودن جمعیت زنان سیگاری می‌باشد که می‌تواند بدلیل مخفی نمودن استعمال دخانیات در جمعیت زنان ایرانی باشد.

محاسبه گردید. با وجود اینکه فراوانی آلل G در پلی مورفیسم G/C در جمعیت بیمار نسبت به جمعیت کنترل افزایش ظاهری نشان داد، ولی این افزایش از لحاظ آماری معنی‌دار نبود ($P=0.13$, جدول ۳). مقایسه و محاسبه فراوانی ژنوتیپی ژن 2 COX در جمعیت بیمار و کنترل از لحاظ آماری ارتباطی با سرطان نشان ندادند ($P=0.96$, جدول ۳).

جدول ۳- آنالیز فراوانی آلل و ژنوتیپ پلی مورفیسم G/C ناحیه پرومتوئری ژن 2 COX-2 و ارتباط آن با شروع سرطان ریه

p-value	نسبت شانس*	گروه کنترل			گروه بیمار	
		آلل/ GG	درصد تعداد	درصد درصد	آلل/ GG	درصد تعداد
.13	۱/۳۴	۶۲/۵۰	۱۵۰	۵۵/۴۵	۱۲۲	G
		۳۷/۵۰	۹۰	۴۴/۵۴	۹۸	C
.0.96	۱/۷۵	۴۰	۴۸	۵/۳۴	۳۸	GG
		۴۵	۵۴	۸/۴۱	۴۶	GC
		۱۵	۱۸	۲۳/۷	۲۶	CC

* مقایسه به صورت GG + GC/GG انجام گرفته است.

از آنجایی که متسافانه بیماران مبتلا به سرطان ریه عمدها در مرحله متاستاز (IV) مورد شناسایی قرار می‌گیرند، امکان بررسی تاثیر و ارتباط آماری پلی مورفیسم با فعالیت متاستازی نمی‌باشد. بررسی انجام گرفته جهت تعیین نقش پلی مورفیسم با استعمال دخانیات، جنس و سن ارتباط آماری معنی‌داری را نشان نداد (اطلاعات نشان داده نشده است).

بحث

مطالعات انجام گرفته در طی سال‌های گذشته دلالت دارند که آنزیم‌های سیکلواکسیژناز در رشد و گسترش سرطان‌ها از طریق مکانیسم‌های مختلفی مثل التهاب، تهاجم بافتی، رگ-زاوی، تحريك تقسیم سلولی و مهار آپوپتوز و سیستم ایمنی دخالت دارند (۳۳-۳۶). بنابراین در مطالعه حاضر سعی شده است با بررسی پلی مورفیسم 765G/C - در ژن COX2، نقش آنزیم در شروع، متاستاز و تاثیر عوامل محیطی از جمله سیگار در سرطان ریه مورد بررسی قرار گیرد. در سال ۲۰۰۲، پاپیلی و همکارانش نشان دادند که تغییر نوکلنوئید G به C در ناحیه پرومتوئری ژن باعث خراب شدن جایگاه اتصال sp_1 و در نتیجه کاهش میزان بیان COX-2 تا ۳۷٪ می‌گردد (۳۷). در مطالعه حاضر، فراوانی آلل G در بیماران مبتلا به سرطان ریه در مقایسه با گروه کنترل افزایش چندانی نشان نداد ($P=0.52$), بنابراین حضور آللی از لحاظ آماری با

تشکر و قدردانی

انتقال خون اصفهان، بیمارستان سیدالشهدا برای جمع‌آوری نمونه‌ها و فراهم کردن اطلاعات پزشکی صمیمانه تشکر می‌شود.

از معاونت‌های پژوهشی و تحصیلات تكمیلی دانشگاه اصفهان به خاطر کمک‌های مالی و تجهیزات و از همکاری‌های سازمان

REFERENCES

1. Daniel L, Simmons RM, Botting R, Timothy H. Cyclooxygenase isozymes: the biology of prostaglandin synthesis and inhibition. *Pharmacol Rev* 2004; 56: 387–437.
2. Marshall PJ, Kulmacz RJ. Prostaglandin H synthase: distinct binding sites for cyclooxygenase and peroxidase substrates. *Arch Biochem Biophys* 1988; 266: 162–70.
3. Smith WL, Lands WE. Oxygenation of polyunsaturated fatty acids during prostaglandin biosynthesis by sheep vesicular gland. *Biochemistry* 1972; 11: 3276–85.
4. Hamberg M, Sanz A, Castresana C. Oxidation of fatty acids in higher plants. *J Biol Chem* 1999; 274: 24503–13.
5. Kraemer SA., Meade EA, De Witt DL. Prostaglandin endoperoxide synthase gene structure: identification of the transcriptional start site and 5 flanking regulatory sequences. *Arch Biochem Biophys* 1992; 293: 391–400.
6. Barnett J, Chow J, Ives D, Chiou M, Mackenzie R, Osen E, et al. Purification, characterization and selective inhibition of human prostaglandin G/H synthase 1 and 2 expressed in the baculovirus system. *Biochim Biophys Acta* 1994; 1209: 130–39.
7. Hamberg M, Svensson J, Samuelsson B. Prostaglandin endoperoxides. A new concept concerning the mode of action of prostaglandins. *Proc Natl Acad Sci USA* 1974; 71: 3824–28.
8. Miyamoto T, Ogino N, Yamamoto S, Hayaishi O. Purification of prostaglandin endoperoxide synthetase from bovine vesicular gland microsomes. *J Biol Chem* 1976; 251: 2629–36.
9. Derek B, Jean S. Molecular characterization of equine prostaglandin G/H synthase-2 and regulation of its messenger ribonucleic acid in pre ovulatory follicles. *Endocrinology* 1998; 139: 1662–70.
10. Xie W, Merrill JR, Bradshaw WS, Simmons DL. Structural determination and promoter analysis of the chicken mitogen inducible prostaglandin G/H synthase gene and genetic mapping of the murine homolog. *Arch Biochem Biophys* 1993; 300: 247–52.
11. Barnett J, Chow J, Ives D, Chiou M, Mackenzie R, Osen E, et al. Purification, characterization and selective inhibition of human prostaglandin G/H synthase 1 and 2 expressed in the baculovirus system. *Biochim Biophys Acta*. 1994; 1209: 130–39.
12. Ogino N, Ohki S, Yamamoto S, Hayaishi O. Prostaglandin endoperoxide synthetase from bovine vesicular gland microsomes: inactivation and activation by heme and other metalloporphyrins. *J Biol Chem* 1978; 253: 5061–68.
13. Inoue H, Nanayama T, Hara S, Yokoyama C, Tanabe T. The cyclic AMP response element plays an essential role in the expression of the human prostaglandin-endoperoxide synthase-2 gene in differentiated U937 monocytic cells. *FEBS Lett* 1994; 350: 51–54.
14. Inoue H, Yokoyama C, Hara S, Tone Y, Tanabe T. Translational regulation of human prostaglandin endoperoxide synthase-2 gene by lipopolysaccharide and phorbol ester in vascular endothelial cells. *J Biol Chem* 1995; 270: 24965–71.
15. Huang MH, Chao HK, Chien HL, Chen W, Ka WL, Jang ML, et al. Polymorphism in COX-2 modifies the inverse association between Helicobacter pylori seropositivity and esophageal squamous cell carcinoma risk in Taiwan: a case control study. *BMC Gastroenterology* 2009; 9: 37.
16. Vane JR. Inhibition of prostaglandin synthesis as a mechanism of action for aspirin-like drugs. *Nature (Lond)* 1971; 231:232–35.
17. Albright son CR, Baenziger NL, Needleman PA. Mononuclear cell factor is a potent agonist of prostaglandin biosynthesis in cultured human fibroblasts and smooth muscle and endothelial cells. *Adv Prostaglandin Thromboxane Leukot Res* 1985; 15: 213–16.
18. Kosaka T, Miyata A, Ihara H, Hara S, Sugimoto T, Takeda O, et al. Characterization of the human gene (PTGS2) Encoding prostaglandin endoperoxide synthase-2. *Eur J Biochem* 1994; 221: 889–97.
19. Christine L, Aaron M, Jim B, Joan CH, Chaka R, Michelle FB. Flexibility of the NSAID binding site in the structure of human cyclooxygenase-2. *Nat Struc Molec Biol* 1996; 3: 927–33.

20. Chen YN, Bienkowski MJ, Marnett LJ. Controlled tropic digestion of prostaglandin H synthase. Characterization of protein fragments and enhanced rate of proteolysis of oxidatively inactivated enzyme. *J Biol Chem* 1987; 262: 16892-99.
21. Goodman JE, Hofseth LJ, Hussain SP, Harris CC. Nitric oxide and p53 in Cancer prone chronic inflammation and x-radical overload disease. *Environ Mol Mutagen* 2004; 44: 3-9.
22. Cohen AJ, Ross AH, Ostro B, Pandey KD, Krzyzanowski M, Kunzli N, et al. The global burden of disease due to outdoor air pollution. *J Toxicol Environ Health* 2005; 68:1301-307.
23. Roth GJ, Stanford N, Majerus PW. Acetylation of prostaglandin synthase by aspirin. *Proc Natl Acad Sci USA* 1975; 72: 3073-76.
24. Roth GJ, Siok CJ, Ozols J. Structural characteristics of prostaglandin synthetase from sheep vesicular glands. *J Biol Chem* 1980; 255: 1301-304.
25. Kalgutkar AS, Zhao Z. Discovery and design of selective cyclo-oxygenase-2 Inhibitors as non ulcerogenic, anti-inflammatory drugs with potential utility as Anti-cancer agents. *Cur Drug Targets* 2001; 2 :79-106.
26. Picot D, Loll P, Garavito M. The X-ray crystal structure of the membrane Protein prostaglandin H2 synthase-1. *Nature* 1994; 367: 243-49.
27. Macdonald F, Ford CHJ, Casson AG, Editors. Molecular biology of cancer. 2nd Ed. Philadelphia: Bios Scientific Publishers; 2005. P.101-104.
28. Alkattan K, Sepsas E, Fountain SW, Townsend ER. Disease recurrence after resection for stage I lung cancer. *Cancer Res* 1997; 12: 380-84.
29. Rami-Porta R, Crowley JJ, Goldstraw P. The revised TNM staging system for lung cancer. *Ann Thorac Cardiovasc Surg* 2009; 15: 4-9.
30. Zhang J, Xia J, Fang S, Li Y, Wang R, Guo W, et al. The functional SNP in the matrix metalloproteinase-3 promoter modifies susceptibility and lymphatic metastasis in esophageal squamous cell carcinoma but not in gastric cardiac adenocarcinoma. *Carcinogenesis* 2004; 12: 2519-24.
31. Fang S, Jin X, Wang R, Li Y, Guo W, Wang N, et al. Polymorphism in the MMP1 and MMP3 promoter and non-small lung carcinoma in north china. *Carcinogenesis* 2005; 6: 481-86.
32. Miller SA, Dybes DD, Polesky HF. A single salting out procedure extracting DNA from human nucleated cells. *Nucleic Acids Res* 1998; 16: 1215-25.
33. Achyut BR, Uday CG, Nikhil M, Balraj M. Role of cyclooxygenase-2 functional gene polymorphisms in Helicobacter pylori induced gastritis and gastric atrophy. *Mol Cell Biochem* 2009; 321: 103-109.
34. Farrow DC, Vaughan TL, Hansten PD, Use of aspirin and other nonsteroidal anti-inflammatory drugs and risk of esophageal and gastric cancer. *Can Epid Bioma Prev*, et al. Use of aspirin and other nonsteroidal anti-inflammatory drugs and risk of esophageal and gastric cancer. *Can Epid Bioma Prev* 1998; 7: 97-102.
35. Oyama K, Fujimura T, Ninomiya I, Miyashita T, Kinami S, Fushida S, et al. A COX-2 inhibitor prevents the esophageal inflammation-metaplasiaadenocarcinoma sequence in rats. *Carcinogenesis*. 2005; 26: 565-70.
36. Wang W, Bergh A, Damber JE. Cyclooxygenase-2 expression correlates with local chronic inflammation and tumor neovascularization in human prostate cancer. *Clin Cancer Res* 2005; 11: 3250-56.
37. Papafili A, Hill MR, Brull DJ, Canulty RJ, Marshall RP, Humphries SE, et al. Common promoter variant in cyclooxygenase-2 represses gene expression: evidence of role in acute-phase inflammatory response. *Arterioscler Thromb Vasc Biol* 2002; 22: 1631-36.
38. Daniele C, Shanbeh Z, Valentina M, Vidar S, Aage H, Federico C. Association of a common polymorphism in the cyclooxygenase-2 gene with risk of non-small cell lung cancer. *Carcinogenesis* 2004; 25: 229-35.
39. Cornelia MU, John W, John H.Y, Justin S, Rachel S, John D, et al. PTGS2 (COX-2) -765G/C promoter variant reduces risk of colorectal adenoma among nonusers of nonsteroidal anti-inflammatory drugs. *Cancer Epidemiol Biomarkers Prev* 2005; 14: 616-19.
40. Boffetta P, Agudo A, Ahrens W, Benhamou E, Benhamou S, Darby SC, et al. Multi center case control study of exposure to environmental tobacco smoke and lung cancer in Europe. *J Natl Cancer Inst* 1998; 90:1440-50.
41. Jahn I, Ahrens W, Bruske-Hohlfeld I, Kreuzer M, Mohner M, Pohlbeln H, et al. Occupational risk factors for lung cancer in women: results of a case-control study in Germany. *Am J Ind Med* 1999; 36: 90-100.

42. Kreuzer M, Krauss M, Kreienbrock L, Jockel KH, Wichmann HE. Environmental tobacco smoke and lung cancer : a case-control study in Germany. Am J Epidemiol 2000; 151: 241-50.
43. Brennan P, Butler J, Agudo A, Benhamou S, Darby S, Fortes C, et al. Joint effect of diet and environmental tobacco smoke on risk of lung cancer among non smokers. J Natl Cancer Inst 2000; 92: 426-27.